

### GEMD-Paradoxium 3

- experimentelle Bestimmung von:
- Ladungsträgerart
  - Polarität der Ladungsträger
  - Vorgehensrichtung " "
  - Beweglichkeit " "

### Hall-Effekt

Ladungsträger driften in x-Richtung

→ e<sup>-</sup> in negative " } vgl. Handout  
 → h<sup>+</sup> in positive "

B.B.: n-dot. HL: Ladungsträger sind e<sup>-</sup>  
 v<sub>0</sub> in negative x-Richtung

→ Auf bewegte Ladungsträger wirkt Lorentzkraft (wegen B-Feld)

$$\vec{F}_L = q \cdot \vec{v} \times \vec{B} \Rightarrow \text{hier: } \vec{F}_L \text{ in neg. y-Richtung}$$

$$\vec{F}_L = -e \cdot v_{0x} \cdot B_z \cdot \vec{e}_y$$

Elektronen werden zum rechten Rand des Plättchen abgelenkt

↳ es lässt sich ein Gegenfeld auf (F<sub>H</sub>), das mit entgegengesetzten Elektronen als Hall-Spannung gemessen werden kann. Die Kraft F<sub>H</sub> kompensiert die Lorentzkraft

$$\Leftrightarrow \vec{F}_L + \vec{F}_H = 0$$

$$\Leftrightarrow e \cdot v_0 \cdot B = e \cdot E_H$$

$$\text{Mit } v_H = B \cdot E_H, \quad v_{0x} = - \frac{j_x}{e \cdot n \cdot d}$$

$$\Rightarrow \mu_H = - \frac{1}{n \cdot e} \cdot \frac{j_x \cdot B_z}{d}$$

↳ R<sub>H</sub>, Hall-Koeffizient, für n-dot. HL

$$\vec{F}_L = q \cdot (\vec{v}_0 \times \vec{B}) \quad \text{bei p-dot. HL:}$$

v<sub>0</sub>: pos x-Richtung }  
 B<sub>z</sub>: " " }  
 } Löcher werden in gleiche Richtung abgelenkt

$$\mu_H = + \frac{1}{p \cdot e} \cdot \frac{j_x \cdot B_z}{d}$$

↳ R<sub>H</sub> für p-dot. HL

# Hall-Koeffizient

→ Materialkonstante

→ Elektronenleiter:  $R_H = -\frac{1}{en}$

→ Löcherleiter:  $R_H = \frac{1}{ep}$

→ gemischt:  $R_H = \frac{1}{e} \frac{n \cdot \mu_p^2 - p \cdot \mu_n^2}{(n \mu_p + p \mu_n)^2}$

} vgl. A 23

## Temperaturabhängigkeit von $R_H$

Eigenschaft:  $n = p = n_i$ ,  $R_H = \frac{1}{e \cdot n_i} \frac{\mu_p - \mu_n}{\mu_p + \mu_n}$

mit  $\beta := \frac{\mu_n}{\mu_p}$ :  $R_H = \frac{1}{e \cdot n_i} \frac{1 - \beta}{1 + \beta}$

in d. R.:  $\mu_n > \mu_p \Rightarrow R_H < 0$  im n-dot-p-Bereich

$n_i \sim T^{3/2} \exp\left\{-\frac{\Delta W_g}{2k_B T}\right\}$

$\mu_n \sim \mu_p \sim T^{-3/2}$  (Phononenstreuung)

$R_H \sim \exp\left\{\frac{\Delta W_g}{2k_B T}\right\} \cdot T^{-3/2} \sim \frac{1}{n_i}$

Störstelleneinkopplung, n-HL

$n = N_D \gg p$

$R_H = -\frac{1}{n_D \cdot e} < 0$

f(T)

p-HL

$p = N_A \gg n$

$R_H = \frac{1}{N_A \cdot e} > 0 \neq f(T)$

Störstelleneinkopplung:

$n \gg p$

$R_H = -\frac{1}{n \cdot e} < 0$

$\sim T^{-3/4} \cdot \exp\left\{\frac{\Delta W_D}{2k_B T}\right\}$

$p \gg n$

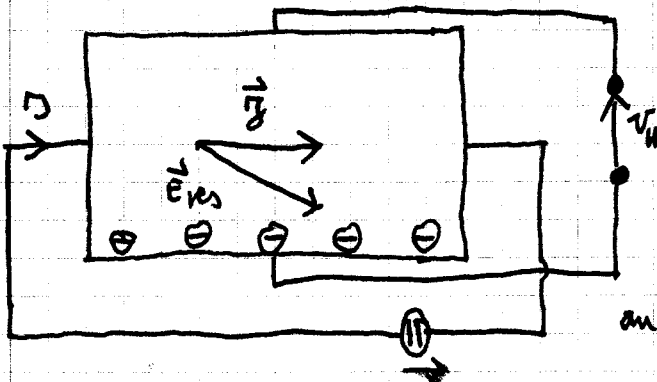
$R_H = \frac{1}{p \cdot e} > 0$

$\sim T^{-3/4} \cdot \exp\left\{\frac{\Delta W_A}{2k_B T}\right\}$

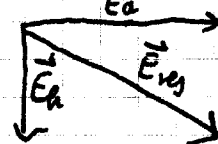
⇒ n-HL: "gerade"  $R_H$ -Kurve

⇒ p-HL: "geknübelte"  $R_H$ -Kurve

## Verlauf der Stromlinien im Hallplättchen



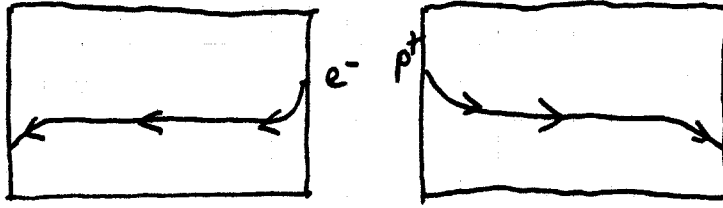
Hallfeldstärke  $E_H$   
äußeres Feldstärke  $E_A$  } Überlagerung



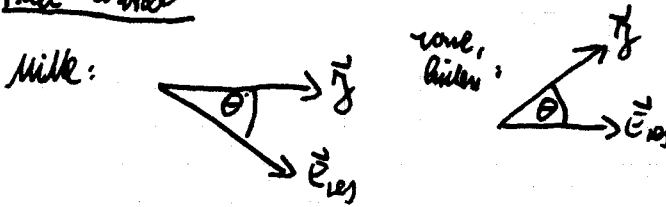
an seitlichen Elektroden:  $\partial_x = 0$  da sich  $F_L / F_D$  kompensieren

$E_y = 0$

rechte / linke Elektrode: Metall mit Kurzschluss.  $E_x = 0, E_y = 0$   
 Anteil  $\gamma_y$ , da die Ladungsträger von  $\vec{F}_L$  abgelenkt werden ( $F_x$  wird nicht durch  $F_H$  kompensiert), da  $F_H = 0$  (wegen  $E_H = 0$ )  
 Verlauf:



Hall-Winkel



Maß für die Abweichung von  $\vec{E}$  und  $\vec{J}$

Hall-Winkel  $\theta$  (überall gleich in der Halbleiter)

$$\tan \theta = \frac{E_H}{E_a} = -\mu_n \cdot B_z \Rightarrow \theta_H \text{ (Skala: Beweglichkeit annehmen)}$$

(Löcherleitung:  $\tan \theta = \mu_p \cdot B_z$ )

Kurzschlussende Fäden in y-Richtung  $\Rightarrow E_y = 0$  (überall)



(vgl. KGV A7  
 GV A11)

$\Rightarrow$  Widerstandsänderung durch Magnetfeld

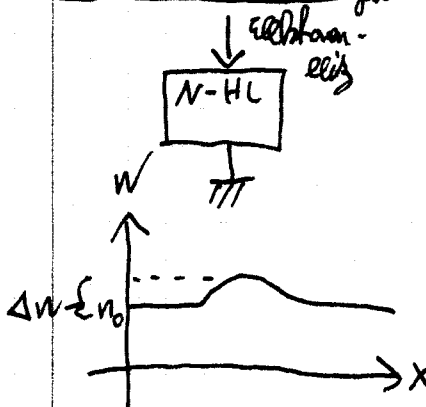
Nichtgleichgewicht (Ausgleichszug)

Ungleichgewicht durch Drift / Diffusion abgebaut

Störung des GG z.B. durch Elektroneninj., elektromag. Strahlung

$$n \cdot p > n_i^2$$

Abbau von Raumladungsinhomogenitäten:



(1) Raumladung von Majoritätsträger

z.B.: Elektroneninjektion in n-HL

Diffusionsströme umadlunglos

$$J_N = -e \cdot \Delta n \quad \text{Raumladung}$$

Mit der Raumladung geht ein E-Feld einher

$$\operatorname{div}(\vec{E}) = \frac{S_n}{\epsilon_0 \epsilon_r}$$

Kontinuitätsgleichung:  $\operatorname{div}(\vec{j}) = \operatorname{div}(\sigma \cdot \vec{E}) = \frac{\partial S_n}{\partial t}$

$\Rightarrow$  DGL für den zeitlichen Verlauf der Raumladung

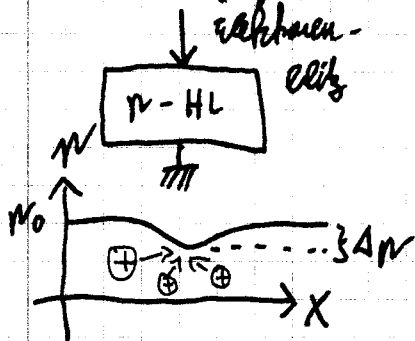
$$S_n = - \frac{\partial \rho}{\partial t} \cdot S_n \rightarrow \text{Lösung: } S_n \sim \exp\left[-\frac{t}{\tau_E}\right] \text{ mit } \tau_E = \frac{\epsilon_0 \epsilon_r}{\sigma}$$

↳ dielektr. Relaxationszeit

### Ablau der RL

Ablau durch Verschieben der e-Majorität

(2) RL von Minoritäten



Ablau der RL wieder:  $S_p \sim \exp\left[-\frac{t}{\tau_E}\right]$

Ladungsträger durch Diff. (Zulassung) von Majoritäten (hier: Löcher)

### Generation und Rekombination von e-Löcher/Lochpaaren

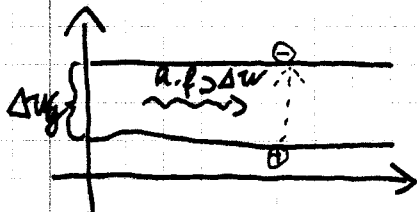
Exitor: therm. Anregung (thermodyn. GG)

Leit: optische Anregung (z.B.: Einstrahlung von Lichtstrahlung (Licht))

der Energie  $W = h \cdot f > \Delta W_g$

ständig Energiezufuhr, kein thermodyn. GG:  $n \cdot p > n_i^2$

Phänomen unter der Bedingung  $\rightarrow$  e-Löcher-Lochpaare generiert



↳ keine Raumladung  $\Rightarrow$  kein Diff

↳ Ablau durch Diffusion

Diffusionsstromdichte:  $e \cdot D_n \cdot \operatorname{grad}(n) = \vec{j}_n$

$-e \cdot D_p \cdot \operatorname{grad}(p) = \vec{j}_p$

### Aufspaltung des Transport

$D_n > D_p$ , da  $\mu_n > \mu_p$

$\rightarrow$  Separation der Ladungsträger

$\rightarrow$  internes elektr. Feld (gerichtete Kraft)

Elektronen und Löcher diffundieren mit einem effektiven Diffusionskoeffizienten:

$$D_0 = \frac{D_n \cdot D_p (n+p)}{D_n \cdot n + D_p \cdot p} \quad (\text{kombinierter Diff.-Koeff.})$$

(1) starke Injektion:  $(\Delta n \gg n_0, \Delta p \gg p_0)$

$$n \approx p \Rightarrow D_0 \approx \frac{D_n D_p}{D_n + D_p}$$

(2) schwache Injektion:  $\neq$

$$\begin{array}{l} n\text{-HL: } \Delta n, \Delta p \ll n_0 \\ p_0 \ll n_0 \end{array} \left. \vphantom{\begin{array}{l} n\text{-HL: } \Delta n, \Delta p \ll n_0 \\ p_0 \ll n_0 \end{array}} \right\} D_0 \approx D_p$$

$$\begin{array}{l} p\text{-HL: } \Delta n, \Delta p \ll p_0 \\ n_0 \ll p_0 \end{array} \left. \vphantom{\begin{array}{l} p\text{-HL: } \Delta n, \Delta p \ll p_0 \\ n_0 \ll p_0 \end{array}} \right\} D_0 \approx D_n$$

Bei schwacher Injektion wird die Diffusion der  $e^-/h^+$ -Paare von der Diff.-französischen der Minoritäten bestimmt.

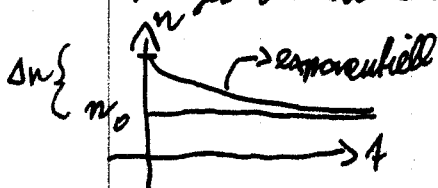
### Rekombination

Bei starker Injektion:  $R = f(\Delta n, \Delta p)$

Bei schwacher Injektion:  $p\text{-HL: } R = f(\Delta n)$

$n\text{-HL: } R = f(\Delta p)$

Abhängigkeit der Überschussladungsträger mit der Zeitkonstanten  $\tau_{rec}$ :



$$\tau_{rec} \approx 10^{-8} \dots 10^{-10}$$

Bei Rekombination wird Energie  $\Delta W_R$  frei.

$\hookrightarrow$  Ausgitter (Wärme) } abhängig von  
oder ausphotonen } Material

### Grundgleichungen der Prozesse in Halbleitern

Zur Beschreibung von Generation, Diff., Diffusion, Rekombination

Partikelstromgleichungen: (1a)  $\vec{j}_n = e \cdot n \cdot \mu_n \cdot \vec{E} + e \cdot D_n \cdot \text{grad}(n)$

(1b)  $\vec{j}_p = \underbrace{e \cdot p \cdot \mu_p \cdot \vec{E}}_{\text{Driftanteil}} + \underbrace{-e \cdot D_p \cdot \text{grad}(p)}_{\text{Diffusionsanteil}}$

Fortinuitätsgleichungen: (2a)  $\dot{n} = \frac{1}{e} \cdot \text{div}(\vec{j}_n) + G_n - R_n$

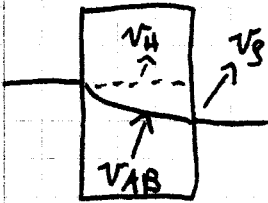
(2b)  $\dot{p} = -\frac{1}{e} \cdot \text{div}(\vec{j}_p) + G_p - R_p$

Reibungskoeffizient (3d)  $R_{\mu} = -\dot{\Delta n} = \frac{\Delta n}{\Delta t} \frac{\Delta n}{J_{\text{rel}}} = \frac{n - n_0}{J_{\text{rel}}}$  } bei  
 (3b)  $R_{\mu} = \dot{\Delta n} = \frac{\Delta n}{J_{\text{rel}}}$  } schnelle  
 Trieb

Generationsrate: Durch Bremsen oder Lichtemission erzeugte  $\Delta n$  bzw.  $\Delta p$   
 Aus diesen Gleichungen (1)-(3) können  $D \Delta n$  für die Minoritätenträger  
 Träger berechnet werden (vgl.: A4)

Klausuraufgabe: Halbleiter

(a)



$$v_{AB} = v_H + v_S$$

Das  $v_S$  von  $v_H$  hängt vom Magnetfeld ab,  $v_H$  un-  
 abh. vom Magnetfeld

$$v_{AB}^+ = v_H + v_S$$

$$v_{AB}^- = -v_H + v_S$$

$$\left. \begin{array}{l} v_{AB}^+ = v_H + v_S \\ v_{AB}^- = -v_H + v_S \end{array} \right\} v_{Ht} = \frac{1}{2}(v_{AB}^+ - v_{AB}^-)$$

(b)  $v_{AB}^+ = 3,0 \text{ mV}$

$v_{AB}^- = -0,8 \text{ mV}$

$\Rightarrow v_S = 3 \text{ mV}$  (aus (a))

gemäß:  $n = N_a = ?$  (Störstellendotierung)

$$R_H = \frac{1}{e} \cdot \frac{p\mu_p^2 - n\mu_n^2}{(p\mu_p + n\mu_n)^2}$$

SE:  $n_H = e \cdot N_a$

$F_S = 0 \Rightarrow R_H = \frac{v_H \cdot d}{B_x \cdot B_y} \left. \vphantom{R_H} \right\} N_a = n = \frac{B_x \cdot B_y}{e \cdot d \cdot v_H} = 3,127 \cdot 10^{17} \text{ cm}^{-3}$

(c)  $\mu_p = ?$

Leitfähigkeit in SE:  $\sigma = e \cdot \mu_p \cdot N_a \Leftrightarrow \mu_p = \frac{\sigma}{e \cdot N_a}$

$\sim$  ohm'scher Spannungfall ( $v_S$ )

$$\Rightarrow R = \frac{1}{\sigma} = \frac{e \cdot d}{\mu_p} = \frac{v_S}{j_x}$$

$$\Rightarrow \sigma = \frac{j_x}{v_S} = \frac{e \cdot j_x}{v_S}$$

$$v_S = v_{AB}^+ - v_H = 0,8 \text{ mV}$$

$$\Rightarrow \mu_p = 6 \cdot 10^{12} \frac{\text{m}^2}{\text{Vs}}$$

Ein ~~Ansatz~~

(d) Partikulärlösung:  $\mathcal{F}_m = e \cdot n_p \cdot \mu_n \cdot E + e \cdot D_n \cdot \frac{d}{dx} n_p$

Kont.-gl.:  $n_p = \frac{1}{e} \cdot \frac{d}{dx} \mathcal{F}_m + g_n - R_n$

$\Rightarrow n_p = \frac{1}{e} \cdot \frac{d}{dx} [e \cdot n_p \cdot \mu_n \cdot E + e \cdot D_n \cdot \frac{d}{dx} n_p] + g_n - R_n$

Stab. Fall:  $n_p = 0$

$E=0$ , da beide Ladungsträger gesättigt werden

$g_n = 0$  (Gegensinn an OA (links))  $\rightarrow$  großes  $x$

$R_n = \frac{D_n}{\tau_{ec}} = \frac{n_p - n_{p0}}{\tau_{ec}}$

Wx

$\Leftrightarrow \frac{d^2}{dx^2} n_p = \frac{n_p - n_{p0}}{\tau_{ec} \cdot D_n}$

(e) DGL:  $\frac{d^2}{dx^2} n_p = \frac{n_p - n_{p0}}{\tau_{ec} \cdot D_n}$

Homogene DGL: Terme ohne "np" zu 0 setzen

$\frac{d^2}{dx^2} n_p = \frac{n_p}{\tau_{ec} \cdot D_n}$

Char. Polynom:  $\lambda^2 = \frac{1}{\tau_{ec} \cdot D_n}$

$\lambda_{1,2} = \pm \frac{1}{\sqrt{\tau_{ec} \cdot D_n}} = \pm \frac{1}{L_D}$

$\hookrightarrow$  Diffusionslänge der  $e^-$

$n_{p, \text{hom}} = A \cdot \exp(-\frac{x}{L_D}) + B \cdot \exp(\frac{x}{L_D})$

eine partikuläre Lsg: "starrer Wert":  $n_{p, \text{part}} = n_{p0}$

Randbedingungen:  $x \rightarrow \infty$ :  $n_p(x \rightarrow \infty) = n_{p0} \rightarrow B \text{ muss } 0 \text{ sein (vgl DGL)}$

$x=0$ :  $n_p(x=0) = n_{p0} + \Delta n(0) \Rightarrow A = \Delta n(0)$

$\Rightarrow n_p = \Delta n(0) \cdot \exp(-\frac{x}{L_D}) + n_{p0}$  Lsg der DGL

(f)  $\mathcal{F}_{n, \text{diff}} = e \cdot D_n \cdot \frac{d}{dx} n_p$

aus (e)  $n_p = \Delta n(0) \cdot \exp(-\frac{x}{L_D}) + n_{p0} = \frac{e \cdot D_n \cdot \Delta n(0) \cdot \exp(-\frac{x}{L_D})}{-L_D} + n_{p0}$   
 $= e \cdot D_n \cdot \frac{d}{dx} [\dots] = \rightarrow$

(g) Berechnen Sie die Diff.-Länge  $l_n$  der Minoritätladungsträger

gegeben:  $\mu_n, \gamma_{rec}, T$

$$l_n = \sqrt{D_n \cdot \tau_{rec}} \quad \text{mit } D_n = \mu_n \cdot \frac{k_B T}{e} \quad (FS)$$

$$\Rightarrow l_n = 39,38 \cdot 10^{-6} \text{ m}$$